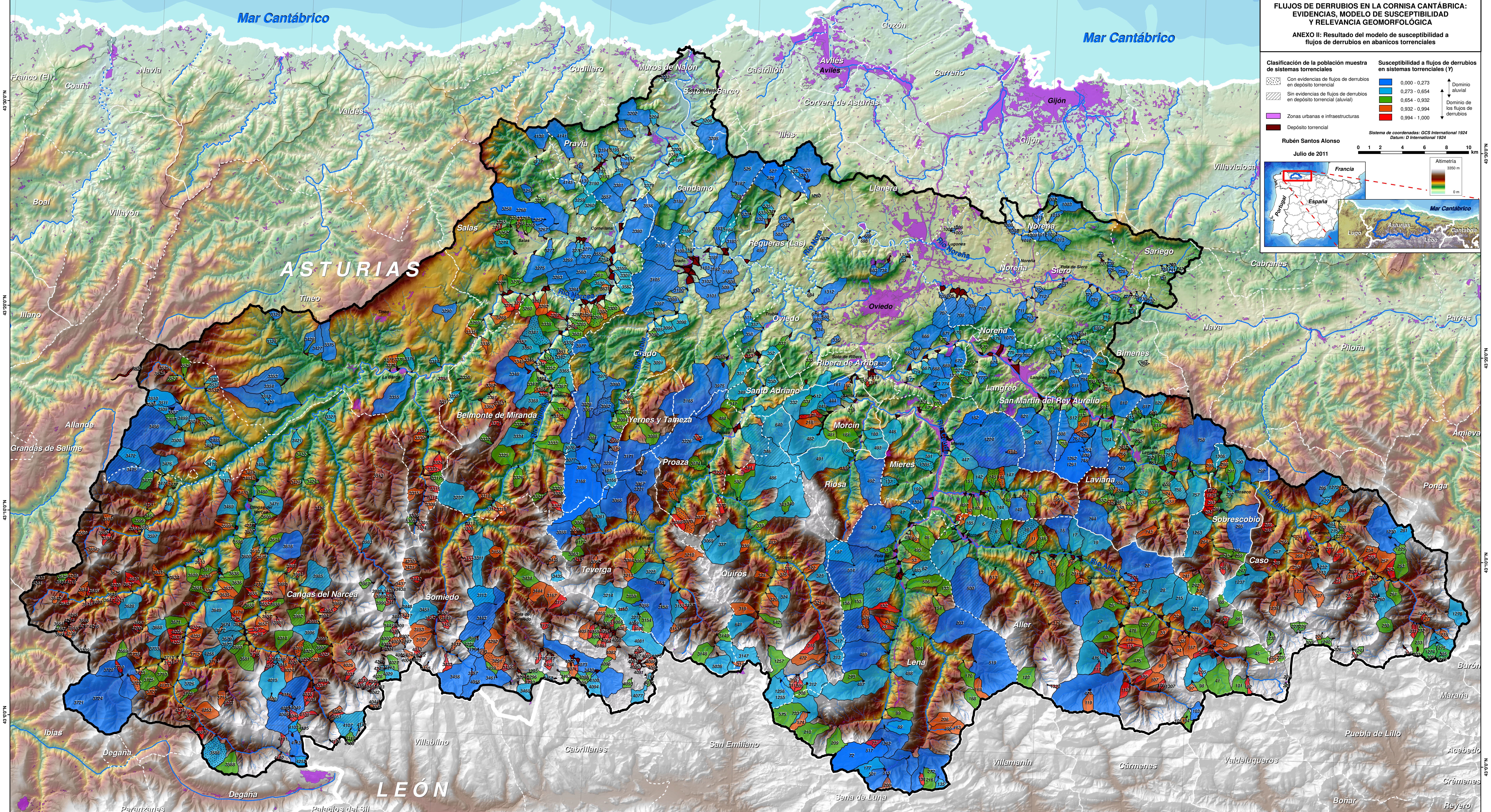


6°50'0"W 6°40'0"W 6°30'0"W 6°20'0"W 6°10'0"W 6°0'0"W 5°50'0"W 5°40'0"W 5°30'0"W 5°20'0"W

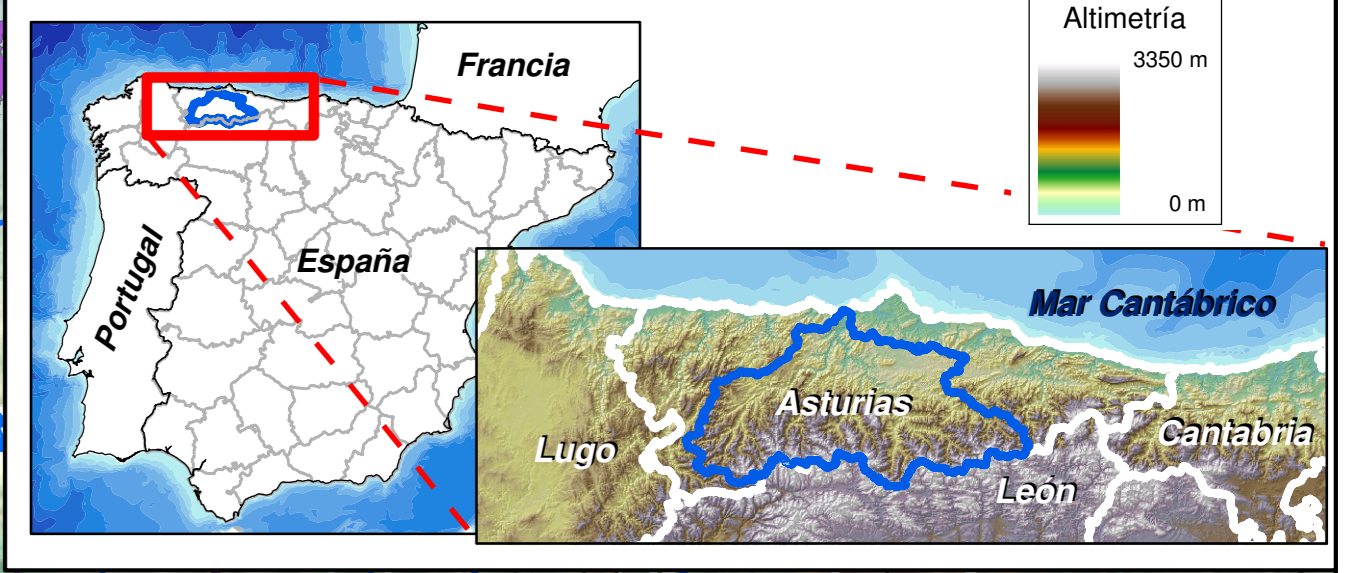


FLUJOS DE DERRUBIOS EN LA CORNISA CANTÁBRICA: EVIDENCIAS, MODELO DE SUSCEPTIBILIDAD Y RELEVANCIA GEOMORFOLÓGICA

ANEXO II: Resultado del modelo de susceptibilidad a
flujos de derrubios en abanicos torrenciales

Clasificación de la población muestra de sistemas torrenciales	Susceptibilidad a flujos de derrubios en sistemas torrenciales (Y)	
Con evidencias de flujos de derrubios en depósito torrencial	0.000 - 0.273	↑ Dominio aluvial
Sin evidencias de flujos de derrubios en depósito torrencial (aluvial)	0.273 - 0.654	↑ Dominio de los flujos de derrubios
Zonas urbanas e infraestructuras	0.654 - 0.932	
Depósito torrencial	0.932 - 0.994	
	0.994 - 1.000	

Sistema de coordenadas: GCS Internacional 1924
Datum: D Internacional 1924
Rubén Santos Alonso



6°40'0"W 6°30'0"W 6°20'0"W 6°10'0"W 6°0'0"W 5°50'0"W 5°40'0"W 5°30'0"W 5°20'0"W